

境界の近似が有限要素解に及ぼす影響について

東大 生研 田 端 正 久

§1. 序

多角形でない領域でなりたつ微分方程式に有限要素法を適用すると、有限要素法で考えている領域とともにその領域とは一般に一致しない。そこで、より良い境界の近似を得るために isoparametric を用いることなどが考えられるが、このような近似境界条件が有限要素解にどのような影響を与えるかを述べる。Ωを平面上の有界領域、Γをその境界として次の問題について考える。

$$\begin{cases} -\Delta u = f & \text{in } \Omega \\ u = g & \text{on } \Gamma \end{cases} \quad (1.1)$$

$$\begin{cases} -\Delta u = f & \text{in } \Omega \\ \frac{\partial u}{\partial n} = g & \text{on } \Gamma \end{cases} \quad (1.2)$$

Γは十分滑らかで次のようにあらわされているものとする。

$$\Gamma = \{(x(t), y(t)) ; \dot{x}^2(t) + \dot{y}^2(t) \equiv 1 \text{ for all } t\}$$

$\Delta = \frac{\partial^2}{\partial x^2} + \frac{\partial^2}{\partial y^2}$, $\frac{\partial}{\partial n}$ は、Γでの外向き法線方向の微分である。

$H^k(\Omega)$ を Ω 上で定義された関数で k 階までの導関数がすべて Ω 上二乗可積分なものの全体とし、ノルムを次で表わす。

$$\|u\|_{k,\Omega} = \left\{ \sum_{|\alpha|=k} \int_{\Omega} |\partial^\alpha u|^2 dx dy \right\}^{\frac{1}{2}}$$

とくに、 $H^0(\Omega)$ を $L^2(\Omega)$ と書く。同様に、 $H^p(\Gamma)$ は境界 Γ 上で言いかえたものである。また、 $C(\bar{\Omega})$ を $\bar{\Omega}$ 上で連続な関数の全体とする。 C は、 φ, u, f, g に依存しない定数で場所が異なれば異なる定数であるとして使う。

§2. 領域の三角形分割と近似境界

$\overline{\Omega}_h = \bigcup \overline{K_h}$ として近似領域 Ω_h を得る。ここに、 K_h は開三角形要素で isoparametric 要素のように曲った三角形も許してある ([1], [2] 参照)。 R_h は細分の程度を表わすパラメータ、 Γ_h を Ω_h の周とする。このとき、 Γ と Γ_h は Γ の normal により t_0 に対応しているものとする。この対応を γ と書く。 $\gamma: \Gamma \rightarrow \Gamma_h$ $P: (x(t), y(t)) \in \Gamma$, $Q(t) = \text{dist}(P, \gamma(P))$ とするとき、次の仮定を途中で用いる。

$$A1: |Q(t)| \leq C R_h^\beta \quad \text{for } \forall t \quad (2.1)$$

$$A2: |Q'(t)| \leq C R_h^{\beta-1} \quad \text{for } \forall t \quad (2.2)$$

$\overline{\Omega}_h$ にある格子点(節点)の全体を $\{P_i\}_{i=1}^{N_2}$ 、そのうち Γ_h 上にあるものを $\{P_i\}_{i=N_2+1}^{N_2}$ とする。 $\mathcal{S}(\Omega_h)$ を N_2 次元の関数空間でその basis を $\{\varphi_i\}_{i=1}^{N_2}$ とする。i.e., $\varphi_i(P_j) = \delta_{ij} \quad i, j = 1, \dots, N_2$

このとき、 $\varphi_i \in C(\bar{\Omega}_h)$ で各 K_h 上では十分滑らかであるとする。
 $\mathcal{S}(Q_h)$ を $\mathcal{S}(\Omega_h)$ の部分空間で Γ_h 上の節点では零になるものの
 垂体とする。 $\dim \mathcal{S}(Q_h) = N_1$ 。
 $\mathcal{S}_B(Q_h)$ を $\mathcal{S}(\Omega_h)$ の部分集合で Γ_h 上の節点では与えられた関数 $\bar{g} \in C(\Gamma_h)$ と一致するもの
 の垂体とする。 $C(\bar{\Omega}_h)$ からの iR の mapping を定義する。

$$P: C(\bar{\Omega}_h) \rightarrow \mathcal{S}(Q_h) \quad (2.3)$$

$$\text{s.t., } (P\varphi)(Q_j) = \varphi(Q_j) \quad j=1, \dots, N_2$$

$$\tilde{P}: C(\bar{\Omega}_h) \rightarrow \mathcal{S}(Q_h) \quad (2.4)$$

$$\text{s.t., } (P\varphi)(Q_j) = \varphi(Q_j) \quad j=1, \dots, N_1$$

$$(P\varphi)(Q_j) = 0 \quad j=N_1+1, \dots, N_2$$

$$P_B: C(\bar{\Omega}_h) \rightarrow \mathcal{S}_B(Q_h) \quad (2.5)$$

$$\text{s.t., } (P\varphi)(Q_j) = \varphi(Q_j) \quad j=1, \dots, N_1$$

$$(P\varphi)(Q_j) = \bar{g}(Q_j) \quad j=N_1+1, \dots, N_2$$

次の仮定を途中で用いる。

$$B1: \|Pf - f\|_{L^2(\Omega_h)} \leq Ch^{d+1-i} \|f\|_{d+1, \Omega_h} \quad i=0, 1 \quad (2.6)$$

for $f \in H^{d+1}(\Omega_h) \cap C(\bar{\Omega}_h)$

$$B2: \|PV - V\|_{L^2(\Gamma_h)} \leq Ch^{d+1} \|V\|_{d+2, \Omega_h} \quad (2.7)$$

for $V \in H^{d+2}(\Omega_h) \cap C(\bar{\Omega}_h)$

また、 iR の notation を用いる。

$$a(u, v) = \int_{\Omega} \nabla u \cdot \nabla v \, dx \, dy \quad \text{for } u, v \in H^1(\Omega)$$

$$\in \mathbb{R}^2 \text{ し } \nabla u = \left(\frac{\partial u}{\partial x}, \frac{\partial u}{\partial y} \right)$$

$$\begin{aligned}
 a_h(u, v) &= \int_{\Omega_h} \nabla u \cdot \nabla v \, dx dy && \text{for } u, v \in H^1(\Omega_h) \\
 (f, v) &= \int_{\Omega} f \cdot v \, dx dy && \text{for } f, v \in L^2(\Omega) \\
 (f, v)_h &= \int_{\Omega_h} f \cdot v \, dx dy && \text{for } f, v \in L^2(\Omega_h) \\
 [g, v] &= \int_{\Gamma} g \cdot v \, dt && \text{for } g, v \in L^2(\Gamma) \\
 [g, v]_h &= \int_{\Gamma_h} g \cdot v \, dt && \text{for } g, v \in L^2(\Gamma_h)
 \end{aligned}$$

§3. Dirichlet 問題

$\bar{f} \in L^2(\Omega_h)$, $\bar{g} \in C(\Gamma_h)$ をそれぞれ f, g の近似関数として与えよ。このとき, (1.1) の有限要素解は次のものをなう。

$$\left\{
 \begin{array}{l}
 \hat{u} \in S_B(\Omega_h) \\
 a_h(\hat{u}, \hat{v}) = (\bar{f}, \hat{v})_h \quad \text{for } \forall \hat{v} \in S(\Omega_h)
 \end{array}
 \right.$$

$u \in H^2(\Omega)$ は (1.1) の厳密解, $\tilde{u} \in H^2(\Omega \cup \Omega_h)$ は u の拡張とする。 $\|\tilde{u}\|_{2, \Omega \cup \Omega_h} \leq C \|u\|_{2, \Omega}$ 。 $e \equiv \hat{u} - \tilde{u} \in H^1(\Omega_h)$ を拡張して $\tilde{e} \in H^1(\Omega \cup \Omega_h)$ とする。 $\|\tilde{e}\|_{1, \Omega \cup \Omega_h} \leq C \|e\|_{1, \Omega_h}$ 。 $w \in$

$$\left\{
 \begin{array}{ll}
 -\Delta w = \tilde{e} & \text{in } \Omega \\
 w = 0 & \text{on } \Gamma
 \end{array}
 \right.$$

の厳密解とする。 $w \in H^2(\Omega)$ でありその拡張 $\tilde{w} \in H^2(\Omega \cup \Omega_h)$ とする。 $\|\tilde{w}\|_{2, \Omega \cup \Omega_h} \leq C \|w\|_{2, \Omega}$ (3.1)

Theorem 3.1

$$\|\hat{u} - \tilde{u}\|_{1, \Omega_h} \leq C \{ \|\tilde{u} - P \tilde{u}\|_{1, \Omega_h} + \|P \tilde{u} - P_B \tilde{u}\|_{1, \Omega_h} + \|\bar{f} + \Delta \tilde{u}\|_{0, \Omega_h} \} \quad (3.2)$$

$$\|\hat{u} - \tilde{u}\|_{0, Q_h} \leq C \left\{ \|e\|_{1, Q_h} \frac{\|\mathcal{P}\tilde{w} - \tilde{w}\|_{1, Q_h}}{\|\tilde{w}\|_{2, Q_h}} + \sqrt{\|e\|_{1, Q_h} \|\mathcal{P}w - \mathcal{P}\tilde{w}\|_{1, Q_h}} \right. \\ \left. + \|\bar{f} + \Delta \tilde{u}\|_{0, Q_h} + \|\bar{g} - \tilde{u}\|_{\Gamma_h} + \sqrt{I} \right\} \quad (3.3)$$

$$I = \int_{Q_h - \Omega} |e|^2 dx dy + \int_{\Omega - Q_h} |\tilde{e}|^2 dx dy$$

(証明)

$$\|\hat{u} - \tilde{u}\|_{1, Q_h} \leq \|\hat{u} - \mathcal{P}_B \tilde{u}\|_{1, Q_h} + \|\mathcal{P}_B \tilde{u} - \mathcal{P} \tilde{u}\|_{1, Q_h} + \|\mathcal{P} \tilde{u} - \tilde{u}\|_{1, Q_h} \quad (3.4)$$

$$\hat{u} - \mathcal{P}_B \tilde{u} \in \mathcal{S}(Q_h) \text{ と } \mathcal{Z}$$

$$\frac{1}{c} \|\hat{u} - \mathcal{P}_B \tilde{u}\|_{1, Q_h}^2 \leq a_h(\hat{u} - \mathcal{P}_B \tilde{u}, \hat{u} - \mathcal{P}_B \tilde{u}) \\ = a_h(\hat{u} - \tilde{u}, \hat{u} - \mathcal{P}_B \tilde{u}) + a_h(\tilde{u} - \mathcal{P}_B \tilde{u}, \hat{u} - \mathcal{P}_B \tilde{u}) \\ = c(\bar{f} + \Delta \tilde{u}, \hat{u} - \mathcal{P}_B \tilde{u}) + a_h(\tilde{u} - \mathcal{P}_B \tilde{u}, \hat{u} - \mathcal{P}_B \tilde{u}) \\ \leq \|\bar{f} + \Delta \tilde{u}\|_{0, Q_h} \|\hat{u} - \mathcal{P}_B \tilde{u}\|_{0, Q_h} + \|\tilde{u} - \mathcal{P}_B \tilde{u}\|_{1, Q_h} \|\hat{u} - \mathcal{P}_B \tilde{u}\|_{1, Q_h} \quad (3.5)$$

(3.4), (3.5) を結合して (3.2) を得る。

$$\|e\|_{0, Q_h}^2 = \int_{Q_h} e(-\Delta \tilde{w} + e + \Delta \tilde{w}) dx dy \\ = a_h(e, \tilde{w}) - \int_{\Gamma_h} e \frac{\partial \tilde{w}}{\partial n} + \int_{Q_h - \Omega} e(e + \Delta \tilde{w}) dx dy \quad (3.6) \\ = I_1 + I_2 + I_3$$

$$I_1 = a_h(e, \tilde{w} - \mathcal{P}\tilde{w}) + a_h(e, \mathcal{P}\tilde{w} - \mathcal{P}_0\tilde{w}) + a_h(e, \mathcal{P}_0\tilde{w})$$

$$I_1 \leq c(\bar{f} + \Delta \tilde{u}, \mathcal{P}\tilde{w}) \leq c\|\bar{f} + \Delta \tilde{u}\|_{0, Q_h} \max_{Q_h} |\tilde{w}| \quad (3.7)$$

$$I_2 \leq \|e\|_{0, \Gamma_h} \|\frac{\partial \tilde{w}}{\partial n}\|_{0, \Gamma_h} \leq c\|\bar{g} - \tilde{u}\|_{0, \Gamma_h} \|\tilde{w}\|_{2, Q_h} \quad (3.8)$$

$$I_3 \leq \int_{Q_h - \Omega} |e|^2 dx dy + \sqrt{\int_{Q_h - \Omega} |e|^2 dx dy} \cdot \|\tilde{w}\|_{2, Q_h} \quad (3.9)$$

$$I_3 \leq K. \quad \|\tilde{e}\|_{0, Q} \leq \|e\|_{0, Q_h} + \sqrt{I} \quad (3.10)$$

Sobolev's lemma & 微分方程式の理論の

$$\max_{Q_h} |\tilde{w}| \leq c\|\tilde{w}\|_{2, Q_h} \leq c\|w\|_{2, Q} \leq c\|\tilde{e}\|_{0, Q} \quad (3.11)$$

(3.1), (3.6)~(3.11) から (3.3) を得る。 ■

A1, B1, B2 を仮定し厳密解 u が必要なだけの $H^k(\Omega)$ に入っているとする。さらに、 $\bar{f} = Pf$, \bar{g} としては Γ 上の節点では g , Γ 上にない節点では $\bar{g}(cp) = g(\varphi^{-1}(cp))$ として $\bar{g} = P\bar{g}|_{\Gamma_h}$ とすると

$$\|\tilde{u} - P\tilde{u}\|_{1,\Omega_h} \leq Ch^\alpha \|u\|_{\alpha+1,\Omega}$$

$$\|P\tilde{u} - P_B\tilde{u}\|_{1,\Omega_h} \leq \begin{cases} 0 \\ Ch^{\beta-\frac{1}{2}} \|u\|_{3,\Omega} \end{cases}$$

$$\|\bar{f} + \Delta \tilde{u}\|_{0,\Omega_h} \leq Ch^\alpha \|u\|_{\alpha+2}, \quad Ch^{\alpha+1} \|u\|_{\alpha+3}$$

$$\frac{\|P\tilde{w} - \tilde{w}\|_{1,\Omega_h}}{\|\tilde{w}\|_{2,\Omega_h}} \leq Ch$$

$$\|P\tilde{w} - P_B\tilde{w}\|_{1,\Omega_h} \leq \begin{cases} 0 \\ Ch^{\beta-\frac{1}{2}} \|e\|_{1,\Omega_h} \end{cases}$$

$$\|\bar{g} - \tilde{u}\|_{0,\Gamma_h} \leq \|\bar{g} - P\tilde{u}\|_{0,\Gamma_h} + \|P\tilde{u} - \tilde{u}\|_{0,\Gamma_h}$$

$$\leq \begin{cases} 0 \\ Ch^\beta \|u\|_{3,\Omega} \end{cases} + Ch^{\alpha+1} \|u\|_{\alpha+2}$$

$$\sqrt{I} \leq Ch^{\frac{\beta}{2}} \|e\|_{1,\Omega_h}$$

が証明できる。ただし、 $\{ \}$ の上段は Γ_h 上の節点があべて Γ 上にある場合、下段はどうでない場合である。したがって

Cor. 3.1

$$\|\hat{u} - \tilde{u}\|_{1,\Omega_h} \leq C \left[\begin{cases} 0 \\ h^{\beta-\frac{1}{2}} \|u\|_{3,\Omega} \end{cases} + h^\alpha \|u\|_{\alpha+2} \right]$$

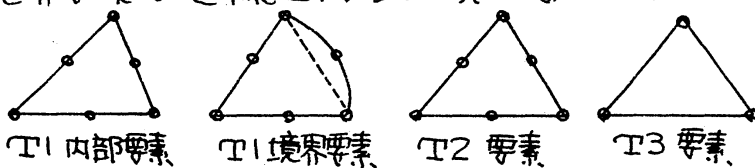
$$\|\hat{u} - \tilde{u}\|_{0, \Omega_h} \leq c \left[h^{\alpha+1} \|u\|_{\alpha+3, Q} + \left\{ \frac{h + h^{\frac{\alpha}{2}}}{h + h^{\frac{\alpha}{2}} - \frac{1}{4}} \right\} \|\hat{u} - \tilde{u}\|_{1, \Omega_h} + \begin{cases} 0 \\ h^\beta \|u\|_{\beta, Q} \end{cases} \right]$$

例

T1: 三角形要素で境界では2次の isoparametric 要素を使い
内部要素では直線三角形。 $\varphi_i(x, y)$ は2次式を使う。

T2: 境界要素も直線三角形。 $\varphi_i(x, y)$ は2次式。

T3: 境界要素 + 直線三角形。 $\varphi_i(x, y)$ は1次式。



このとき、次の結果を得る。

	α	β	H^1 ルム	L^2 ルム
T1	2	3	h^2	h^3
T2	2	2	$h^{\frac{3}{2}}$	h^2
T3	1	2	h	h^2

T2 では Γ_h 上の節点で Γ 上にないものが生じている。Cor.3.1 をそのまま用いると、T2 の L^2 ルムは $h^{\frac{3}{2}}$ となるが、 $2h$ とした T2 は T3 を含むので h^2 が保たれる。

§4. Neumann 問題

(1.2) が解をもつたためには $\int_\Omega f dx dy + \int_\Gamma g dt = 0$ でなければならぬ。 $\int_\Omega u dx dy = 0$ のもとで “厳密解が一意的に存在し $H^k(Q)$ に入っている” とする。 $\tilde{u} \in H^k(\Omega \cup \Gamma_h)$ を u の拡張で。

$$\|\tilde{u}\|_{k, \Omega \cup \Gamma_h} \leq C \|u\|_{k, \Omega} \text{ とある。}$$

$$k_1 = \frac{1}{\text{mes}(\Gamma_h)} \int_{\Gamma_h} \tilde{u} \, dx dy, \quad u_1 \equiv \tilde{u} - k_1$$

$\bar{f} \in L^2(\Gamma_h)$, $\bar{g} \in C(\Gamma_h)$ を f , g の近似

$$k_2 = \frac{1}{\text{mes}(\Gamma_h)} \left\{ \int_{\Omega_h} \bar{f} \, dx dy + \int_{\Gamma_h} \bar{g} \, dt \right\}, \quad f_1 \equiv \bar{f} - k_2$$

二の式を(1,2)の有限要素解は次のとおり。

$$\begin{cases} \hat{u} \in \mathcal{S}(\Omega_h) \\ A_h(\hat{u}, \hat{\varphi}) = (f_1, \hat{\varphi})_h + [\bar{g}, \hat{\varphi}]_h \quad \text{for } \forall \hat{\varphi} \in \mathcal{S}(\Omega_h) \\ \int_{\Omega_h} \hat{u} \, dx dy = 0 \end{cases}$$

$e \equiv \hat{u} - \tilde{u} \in H^1(\Omega_h)$ の \hat{e}_1 は $\tilde{e} \in H^1(\Omega \cup \Gamma_h)$, $\|\tilde{e}\|_{1, \Omega \cup \Gamma_h} \leq C \|e\|_{1, \Omega_h}$

$$k_3 = \frac{1}{\text{mes}(\Omega_h)} \int_{\Omega_h} \tilde{e} \, dx dy, \quad e_1 \equiv \tilde{e} - k_3$$

$$w \in \int_{\Omega_h} w \, dx dy = 0$$

$$\begin{cases} -\Delta w = e_1 & \text{in } \Omega \\ \frac{\partial w}{\partial n} = 0 & \text{on } \Gamma \end{cases}$$

の厳密解とする $\tilde{w} \in H^2(\Omega)$ で $\tilde{w} \in H^2(\Omega \cup \Gamma_h)$ を \tilde{w} の \hat{w} と表す。
 $\|\tilde{w}\|_2, \Omega \cup \Gamma_h \leq C \|w\|_2, \Omega$ (4.1)

Theorem 4.1

$$\|\hat{u} - \tilde{u}\|_{1, \Omega_h} \leq \left\{ \|P\tilde{u} - \tilde{u}\|_{1, \Omega_h} + \|\bar{f} + \Delta \tilde{u}\|_{0, \Omega_h} + \|\bar{g} - \frac{d\tilde{u}}{dn}\|_{0, \Gamma_h} + |k_1| + |k_2| \right\} \quad (4.2)$$

$$\begin{aligned} \|\hat{u} - \tilde{u}\|_{0, \Omega_h} &\leq C \left\{ \|e\|_{1, \Omega_h} \frac{\|P\tilde{w} - \tilde{w}\|_{1, \Omega_h}}{\|\tilde{w}\|_{2, \Omega_h}} + \|\bar{g} - \frac{d\tilde{u}}{dn}\|_{0, \Gamma_h} \frac{\|P\tilde{w} - \tilde{w}\|_{1, \Omega_h}}{\|\tilde{w}\|_{2, \Omega_h}} \right. \\ &\quad + \|\bar{f} + \Delta \tilde{u}\|_{0, \Omega_h} + |k_2| + |k_3| + \sqrt{I} + \frac{|[\bar{g} - \frac{d\tilde{u}}{dn}, \tilde{w}]_h|}{\|\tilde{w}\|_{2, \Omega_h}} \\ &\quad \left. + \frac{J}{\|\tilde{w}\|_{2, \Omega_h}} \right\} \end{aligned} \quad (4.3)$$

$$\begin{aligned} & \in E^{\perp} \quad I = \int_{\Omega \cap \Gamma_h} |e|^2 dx dy + \int_{\Omega - \Omega_h} |\tilde{e}|^2 dx dy \\ & J = \int_{\Omega - \Omega_h} |\nabla \tilde{e} \cdot \nabla w| dx dy + \int_{\Omega_h - \Omega} |\nabla e \cdot \nabla \tilde{w}| dx dy \end{aligned}$$

(証明)

$$\|\hat{u} - \tilde{u}\|_{L^2(\Omega_h)} \leq \|\hat{u} - u_1\|_{L^2(\Omega_h)} + C(k_1) \quad (4.4)$$

$$\begin{aligned} \frac{1}{C} \|\hat{u} - u_1\|_{L^2(\Omega_h)}^2 & \leq a_h(\hat{u} - u_1, \hat{u} - u_1) \\ & = a_h(\hat{u} - \tilde{u}, \hat{u} - \tilde{u}) \\ & = a_h(\hat{u} - \tilde{u}, \hat{u} - P\tilde{u}) + a_h(\hat{u} - \tilde{u}, P\tilde{u} - \tilde{u}) \\ & = I_1 + I_2 \end{aligned} \quad (4.5)$$

$$\begin{aligned} I_1 & = (f_1 + \Delta \tilde{u}, \hat{u} - P\tilde{u}) + [\bar{g} - \frac{d\tilde{u}}{dn}, \hat{u} - P\tilde{u}]_{\Gamma_h} \\ & \leq C \left\{ \|f_1 + \Delta \tilde{u}\|_{L^2(\Omega_h)} + |k_2| + \|\bar{g} - \frac{d\tilde{u}}{dn}\|_{L^2(\Gamma_h)} \right\} \left\{ \|P\tilde{u} - \tilde{u}\|_{L^2(\Omega_h)} + \|\hat{u} - \tilde{u}\|_{L^2(\Omega_h)} \right\} \end{aligned} \quad (4.6)$$

(4.4)~(4.6) と S (4.2) を得る。

$$\begin{aligned} \|e_1\|_{L^2(\Omega)}^2 & = \int_{\Omega} e_1 (-\Delta w) dx dy \\ & = a(e_1, w) \\ & = a_h(e, \tilde{w}) + \int_{\Omega - \Omega_h} \nabla \tilde{e} \cdot \nabla \tilde{w} dx dy - \int_{\Omega_h - \Omega} \nabla e \cdot \nabla \tilde{w} dx dy \\ & \leq a_h(e, \tilde{w} - P\tilde{w}) + a_h(e, P\tilde{w}) + J \end{aligned} \quad (4.7)$$

$$\begin{aligned} \text{左2項} & = (f_1 + \Delta \tilde{u} - P\tilde{w})_h + [\bar{g} - \frac{d\tilde{u}}{dn}, P\tilde{w}]_h \\ & = (f_1 + \Delta \tilde{u}, P\tilde{w})_h + [\bar{g} - \frac{d\tilde{u}}{dn}, P\tilde{w} - \tilde{w}]_h + [\bar{g} - \frac{d\tilde{u}}{dn}, \tilde{w}]_h \\ & \leq \|f_1 + \Delta \tilde{u}\|_{L^2(\Omega_h)} \|\tilde{w}\|_{L^2(\Omega_h)} + \|\bar{g} - \frac{d\tilde{u}}{dn}\|_{L^2(\Gamma_h)} \|P\tilde{w} - \tilde{w}\|_{L^2(\Omega_h)} \\ & \quad + |[\bar{g} - \frac{d\tilde{u}}{dn}, \tilde{w}]_h| \end{aligned} \quad (4.8)$$

$$\text{左SRC} \quad \|e\|_{L^2(\Omega_h)} \leq \|e_1\|_{L^2(\Omega)} + |k_3| + \sqrt{I} \quad (4.9)$$

$$\|w\|_{L^2(\Omega)} \leq C \|e_1\|_{L^2(\Omega)} \quad (4.10)$$

(4.1), (4.7)~(4.10) と (4.3) を 併記す。



\bar{f}, \bar{g} は §3 と同様にとてり A_1, A_2, B_1, B_2 を 仮定する。

$$|k_1| \leq C h^{\beta} \|u\|_{1,\Omega}$$

$$|k_2| \leq C [\|\bar{f} + \Delta \tilde{u}\|_{0,\Omega_h} + h^{\beta} \|u\|_{3,\Omega} + \begin{cases} 0 \\ h^{\beta} \|u\|_{4,\Omega} \end{cases}] + h^{\alpha} \|u\|_{2,\Omega} + h^{\alpha+1} \|u\|_{3,\Omega}$$

$$|k_3| \leq C [h^{\beta} \|e\|_{1,\Omega_h} + h^{\beta} \|u\|_{1,\Omega}]$$

$$\|P\tilde{u} - \tilde{u}\|_{1,\Omega_h} \leq C h^{\alpha} \|u\|_{\alpha+1,\Omega}$$

$$\|\bar{f} + \Delta \tilde{u}\|_{0,\Omega_h} \leq C h^{\alpha} \|u\|_{\alpha+2} + C h^{\alpha+1} \|u\|_{\alpha+3}$$

$$\|\bar{g} - \frac{d\tilde{u}}{dn}\|_{0,\Omega_h} \leq C [h^{\alpha} \|u\|_{\alpha+2} + h^{\beta-1} \|u\|_{2,\Omega}]$$

$$\frac{\|P\tilde{w} - \tilde{w}\|_{1,\Omega_h}}{\|\tilde{w}\|_{2,\Omega_h}} \leq Ch$$

$$\sqrt{I} \leq Ch^{\frac{\beta}{2}} \|e\|_{1,\Omega_h}$$

$$\frac{I}{\|\tilde{w}\|_{2,\Omega_h}} \leq Ch^{\frac{\beta}{2}} \|e\|_{1,\Omega_h}$$

よって

$$\begin{aligned} [\bar{g} - \frac{d\tilde{u}}{dn}, \tilde{w}]_h &= [\bar{g}, \tilde{w}]_h - a_h(\tilde{u}, \tilde{w}) + (-\Delta \tilde{u}, \tilde{w})_h \\ &= \{[\bar{g}, \tilde{w}]_h - [\bar{g}, w]\} - \int_{\Omega_h} \nabla \tilde{u} \cdot \nabla \tilde{w} \, dx + \int_{\Omega_h} \nabla u \cdot \nabla w \, dx \\ &\quad + \int_{\Omega_h} (-\Delta \tilde{u}) \cdot \tilde{w} \, dx - \int_{\Omega_h} (-\Delta u) w \, dx \quad (4.11) \end{aligned}$$

ここで

$$[\bar{g}, w]_h - a_h(u, w) + (-\Delta u, w) = 0 \quad \text{と } 3 \text{ を 用ひて。}$$

(4.11) を 用ひて

$$\frac{|[\bar{g} - \frac{d\tilde{u}}{dn}, \tilde{w}]_h|}{\|\tilde{w}\|_{2,\Omega_h}} \leq C \left[h^{\beta} \|u\|_{3,\Omega} + h^{\alpha+1} \|u\|_{\alpha+3,\Omega} + \begin{cases} 0 \\ h^{\beta} \|u\|_{4,\Omega} \end{cases} \right]$$

が 証明できること。

Cor. 4.1

$$\|\hat{u} - \tilde{u}\|_{1,\Omega_h} \leq C [h^\alpha \|u\|_{2+\alpha, \Omega} + h^{\beta-1} \|u\|_2]$$

$$\|\hat{u} - \tilde{u}\|_{0,\Omega_h} \leq C \left[(h + h^{\frac{\beta}{2}}) \|\hat{u} - \tilde{u}\|_{1,\Omega_h} + h^{\alpha+1} \|u\|_{\alpha+3} + h^\beta \|u\|_{3,\Omega} + \begin{cases} 0 \\ h^\beta \|u\|_{4,\Omega} \end{cases} \right]$$

例

	α	β	H^1	L^2
T1	2	3	$\frac{1}{h^2}$	$\frac{1}{h^3}$
T2	2	2	$\frac{1}{h}$	$\frac{1}{h^2}$
T3	1	2	$\frac{1}{h}$	$\frac{1}{h^2}$

§5. 数値実験

領域Ωを半径10の円として Dirichlet 問題の数値実験を行った。要素分割図は P12 で (1), (2), (3) は §3 の例 T1, T2, T3 に相当する。NI は四分円に含まれる節点の数、NB は境界上の節点の数である。グラフは有限要素解と厳密解との相対誤差を表しており ENERGY-NORM は $|e|_A = \{a_h(e, e)\}^{\frac{1}{2}}$ を示してある。横軸は節点数でその逆数が h に比例する量である。グラフ 1, 2 は解として次のものをとったものである。

$$u = (100 - x^2 - y^2)(x^2 - y^2)$$

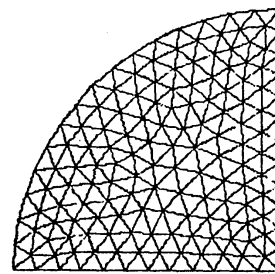
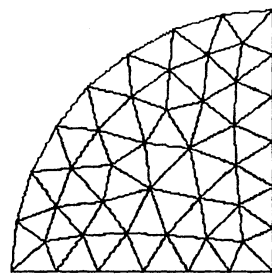
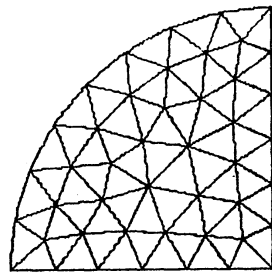
$$u = \log \frac{300 - 2(x^2 + y^2)}{100}$$

参考文献

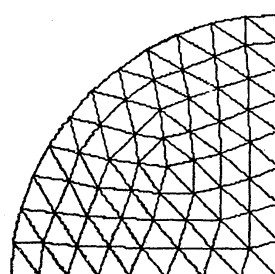
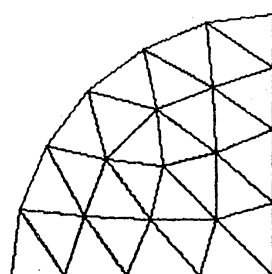
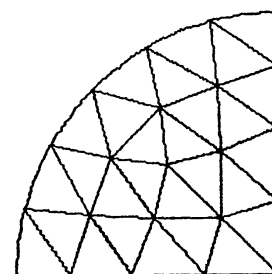
- [1] Ciarlet, P.G. & Raviart, P.A: Comp. Meth. in Appl. Mech. Eng. 1 (1972), pp217-249
- [2] 田端正久: 京大数理解析研講究録 202 (1974), pp53-61

130

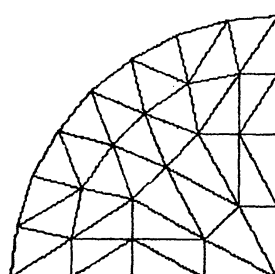
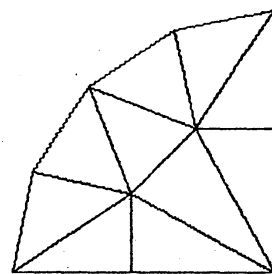
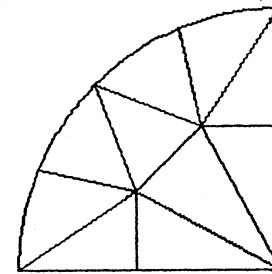
SD4
NI = 140
NB = 17



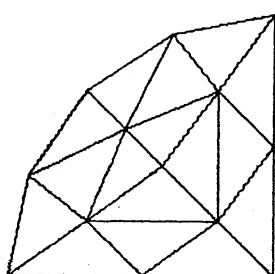
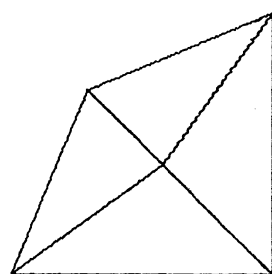
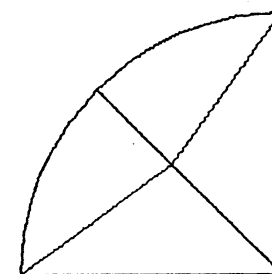
SD3
NI = 58
NB = 13



SD2
NI = 20
NB = 9



SD1
NI = 8
NB = 5



要素分割図

(1)

(2)

(3)

